## Kapitel 3

# VORWÄRTSKINEMATIK: DIE DENAVIT-HARTENBERG KONVENTION

In diesem Kapitel entwickeln wir die Vorwärts- oder Konfigurationskinematikgleichungen für starre Roboter. Das Problem der Vorwärtskinematik befasst sich mit der Beziehung zwischen den einzelnen Gelenken des Robotermanipulators und der Position und Ausrichtung des Werkzeugs oder Endeffektors. Formeller ausgedrückt besteht das Problem der Vorwärtskinematik darin, die Position und Ausrichtung des Endeffektors anhand der Werte für die Gelenkvariablen des Roboters zu bestimmen. Bei den Gelenkvariablen handelt es sich um die Winkel zwischen den Gelenken bei Revolut- oder Rotationsgelenken und um die Gelenkverlängerung bei Prismen- oder Schiebegelenken. Dem Problem der Vorwärtskinematik ist das Problem der Umkehrkinematik gegenüberzustellen, das im nächsten Kapitel untersucht wird und bei dem es um die Bestimmung von Werten für die Gelenkvariablen geht, die eine gewünschte Position und Ausrichtung für den Endeffektor des Roboters erreichen.

## 3.1 Kinematische Ketten

Wie in Kapitel 1 beschrieben, besteht ein Robotermanipulator aus einer Reihe von Gliedern, die durch verschiedene Gelenke miteinander verbunden sind. Die Gelenke können entweder sehr einfach sein, wie zum Beispiel ein Drehgelenk oder ein Prismengelenk, oder sie können komplexer sein, wie zum Beispiel ein Kugelgelenk. (Denken Sie daran, dass ein Drehgelenk wie ein Scharnier ist und eine relative Drehung um eine einzelne Achse ermöglicht, während ein prismatisches Gelenk eine lineare Bewegung entlang einer einzelnen Achse, nämlich Ausfahren oder Einfahren, zulässt.) Der Unterschied zwischen den beiden Situationen besteht darin, dass in Im ersten Fall hat das Gelenk nur einen einzigen Bewegungsfreiheitsgrad: den Drehwinkel im Fall eines Drehgelenks und den Betrag der linearen Verschiebung im Fall eines Prismengelenks. Im Gegensatz dazu hat ein Kugelgelenk zwei Freiheitsgrade. In diesem Buch wird durchgehend davon ausgegangen, dass alle Gelenke nur einen einzigen Freiheitsgrad haben. Beachten Sie, dass die Annahme

## 62KAPITEL 3. VORWÄRTSKINEMATIK: DIE DENAVIT-HARTENBERG-KONVENTION

bedeutet keinen wirklichen Verlust an Allgemeingültigkeit, da Gelenke wie ein Kugelgelenk (zwei Freiheitsgrade) oder ein sphärisches Handgelenk (drei Freiheitsgrade) immer als eine Abfolge von Einzelgraden betrachtet werden können. Freiheitsgelenke mit Verbindungsgliedern der Länge Null dazwischen.

Unter der Annahme, dass jedes Gelenk einen einzigen Freiheitsgrad hat, kann die Wirkung jedes Gelenks durch eine einzige reelle Zahl beschrieben werden: den Drehwinkel im Fall eines Drehgelenks oder die Verschiebung im Fall eines Prismengelenks gemeinsam. Das Ziel der Vorwärtskinematikanalyse besteht darin, die kumulative Wirkung des gesamten Satzes von Gelenkvariablen zu bestimmen. In diesem Kapitel werden wir eine Reihe von Konventionen entwickeln, die ein systematisches Verfahren zur Durchführung dieser Analyse bieten. Es ist natürlich möglich, eine Vorwärtskinematikanalyse auch ohne Berücksichtigung dieser Konventionen durchzuführen, wie wir es in Kapitel 1 für das Beispiel eines planaren Manipulators mit zwei Gliedern getan haben. Die kinematische Analyse eines Manipulators mit n-Links kann jedoch äußerst komplex sein und Die im Folgenden eingeführten Konventionen vereinfachen die Analyse erheblich. Darüber hinaus führen sie zu einer universellen Sprache, mit der Roboteringenieure kommunizieren können.

Ein Robotermanipulator mit n Gelenken hat n + 1 Glieder, da jedes Gelenk zwei Glieder verbindet. Wir nummerieren die Gelenke von 1 bis n und die Verbindungen von 0 bis n, beginnend mit der Basis. Nach dieser Konvention verbindet das Gelenk i den Link i  $\bar{y}$  1 mit dem Link i. Wir gehen davon aus, dass die Position des Gelenks i in Bezug auf das Glied i  $\bar{y}$  1 feststeht. Wenn das Gelenk i betätigt wird, bewegt sich das Glied i. Daher ist Link 0 (das erste Link) fest und bewegt sich nicht, wenn die Gelenke betätigt werden. Natürlich könnte der Robotermanipulator selbst mobil sein (z. B. könnte er auf einer mobilen Plattform oder einem autonomen Fahrzeug montiert sein), aber wir werden diesen Fall in diesem Kapitel nicht betrachten, da er durch leichte Erweiterung der Techniken leicht gehandhabt werden kann hier vorgestellt. th Mit

dem i joint, wir assoziieren eine gemeinsame Variable, die mit qi bezeichnet wird . Bei einem Drehgelenk ist qi der Drehwinkel und bei einem Prismengelenk ist qi die Gelenkverschiebung:

Um die kinematische Analyse durchzuführen, befestigen wir starr an jedem Glied einen Koordinatenrahmen. Insbesondere fügen wir oixiyizi dem Link i bei. Dies bedeutet, dass unabhängig von der Bewegung des ausgeführt wird, sind die Koordinaten jedes Punktes auf der Verbindung i konstant, wenn sie im i-Koordinatenrahmen ausgedrückt werden. Wenn außerdem das Gelenk i betätigt wird, erfahren das Verbindungsglied i und sein befestigter Rahmen, oixiyizi , eine resultierende Bewegung. Der Rahmen o0x0y0z0, der an der Roboterbasis befestigt ist, wird als Inertialrahmen bezeichnet. Abbildung 3.1 veranschaulicht die Idee, Rahmen im Fall eines Ellenbogenmanipulators starr an Gelenken zu befestigen.

Nehmen wir nun an, dass Ai die homogene Transformationsmatrix ist, die die Position und Ausrichtung von oixiyizi in Bezug auf oiÿ1xiÿ1yiÿ1ziÿ1 ausdrückt. Die Matrix Ai ist nicht konstant, sondern variiert, wenn sich die Konfiguration des Roboters ändert. Die Annahme, dass alle Gelenke entweder rotierend oder prismatisch sind, bedeutet jedoch, dass Ai eine Funktion nur einer einzigen Gelenkvariablen ist, nämlich qi. Mit anderen Worten,

$$Ai = Ai(ai). (3.2)$$

61

## 3.1. KINEMATISCHE KETTEN

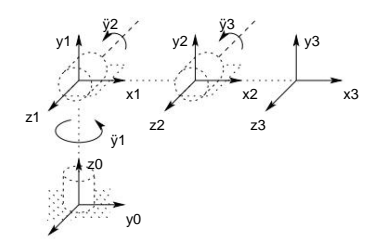


Abbildung 3.1: Am Ellenbogenmanipulator befestigte Koordinatenrahmen.

Nun wird die homogene Transformationsmatrix, die die Position und Orientierung von ojxjyjzj in Bezug auf oixivizi ausdrückt . vereinbarungsgemäß Transformationsmatrix genannt und mit T i bezeichnet . Aus Kapitel 2 sehen wir das

Aus der Art und Weise, wie wir die verschiedenen Rahmen starr an den entsprechenden

$$T_{j\bar{i}} = Ai+1Ai+2...Aj\bar{y}1Aj, wenn i < j = I,$$
 $T_{j} wenn i = j\bar{y}1$ 
 $T_{\bar{j}} = (T_{\bar{j}}) wenn j > i.$ 
(3.3)

63

Verbindungen befestigt haben, folgt, dass die Position iedes Punktes auf dem Endeffektor. ausgedrückt in Rahmen n, eine Konstante ist, unabhängig von der Konfiguration des Roboters. Matrix

$$H = \begin{array}{ccc} {}^{RO}_{N} & {}^{O} \circ n \\ 0 & 1 \end{array} . \tag{3.4}$$

Dann sind die Position und Ausrichtung des Endeffektors im Inertialsystem gegeben durch

$$H = T$$
  $^{0}_{N} = A1(q1) \cdot \cdot \cdot An(qn).$  (3.5)

Jede homogene Transformation Ai hat die Form

Somit

$$T_{j}^{-} = Ai+1 \cdot \cdot \cdot \cdot Aj = \begin{pmatrix} Ri & j & i \\ o & j & 0 & 1 \end{pmatrix}$$
 (3.7)

## 64KAPITEL 3. VORWÄRTSKINEMATIK: DIE DENAVIT-HARTENBERG-KONVENTION

Die Matrix Ri drückt die Orientierung von ojxjyjzj relativ zu oixiyizi aus und wird durch die Rotationsteile der A-Matrizen als gegeben

$$R_{j}^{-} = R_{i+1}^{-} \cdots R_{i} j j j 1$$

$$(3.8)$$

Die Koordinatenvektoren o ergeben sich rekursiv durch die Formel i

$$i_{0i} = 0_{ii} + R_{ii} + R_{ii} \circ i^{ji}$$
 (3.9)

(3.10)

Diese Ausdrücke werden in Kapitel 5 nützlich sein, wenn wir Jacobi-Matrizen untersuchen.

Im Prinzip reicht es, die Kinematik weiterzuleiten! Bestimmen Sie die Funktionen Ai(gi) und multiplizieren Sie sie nach Bedarf miteinander. Es ist jedoch möglich, durch die Einführung weiterer Konventionen, wie etwa der Denavit-Hartenberg-Darstellung einer Verbindung, ein erhebliches Maß an Straffung und Vereinfachung zu erreichen, und dies ist das Ziel des restlichen Kapitels.

## 3.2 Denavit Hartenberg-Vertretung

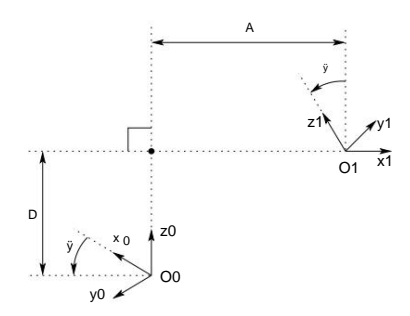
Ai = Rotz.viTransz.diTransx.aiRotx.vi

Obwohl es möglich ist, die gesamte Analyse in diesem Kapitel mit einem beliebigen Rahmen durchzuführen, der jedem Link beigefügt ist, ist es hilfreich, bei der Auswahl dieser Rahmen systematisch vorzugehen. Eine häufig verwendete Konvention zur Auswahl von Referenzrahmen in Roboteranwendungen ist die Denavit Hartenberg- oder DH-Konvention. In dieser Konvention wird jede homogene Transformation Ai als Produkt von vier Grundtransformationen dargestellt

wobei die vier Größen ÿi ÿi Parameter,sind, die der Verbindung i und dem Gelenk i zugeordnet sind. Die vier Parameter akunddii,in (3.10) erhalten im Allgemeinen die Namen Verbindungslänge, Verbindungsdrehung, Verbindungsversatz bzw. Gelenkwinkel. Diese Namen leiten sich von bestimmten Aspekten der geometrischen Beziehung zwischen zwei Koordinatensystemen ab, wie weiter unten deutlic Da die Matrix Ai eine Funktion einer einzelnen Variablen ist, stellt sich heraus, dass drei der oben genannten vier Größen für eine bestimmte Verbindung konstant sind, während der vierte Parameter, ÿi für ein Drehgelenk und di für ein Prismengelenk, die Gelenkvariable ist .

Aus Kapitel 2 geht hervor, dass eine beliebige homogene Transformationsmatrix durch sechs Zahlen charakterisiert werden kann, beispielsweise drei Zahlen zur Angabe der

## 3.2. DENAVIT HARTENBERG VERTRETUNG



65

Abbildung 3.2: Koordinatensysteme, die die Annahmen DH1 und DH2 erfüllen.

vierte Spalte der Matrix und drei Euler-Winkel, um die obere linke 3 x 3-Rotationsmatrix anzugeben. In der DH-Darstellung hingegen gibt es nur vier Parameter. Wie ist das möglich? Die Antwort ist, dass der Rahmen i zwar starr mit der Verbindung i verbunden sein muss, wir aber bei der Wahl des Ursprungs und der Koordinatenachsen des Rahmens erhebliche Freiheit haben. Beispielsweise ist es nicht efforderlich, dass der Ursprung oi des Frames i am physischen Ende der Verbindung i platziert wird. Tatsächlich ist es nicht einmal notwendig, dass der Frame i innerhalb der physischen Verbindung platziert wird; Rahmen i könnte im freien Raum liegen – solange Rahmen i fest mit Link i verbunden ist. Durch eine geschickte Wahl des Ursprungs und der Koordinatenachsen ist es möglich, die Anzahl der benötigten Parameter von sechs auf vier (in manchen Fällen sogar weniger) zu reduzieren. In Abschnitt 3.2.1 zeigen wir, warum und unter welchen Bedingungen dies möglich ist, und in Abschnitt 3.2.2 zeigen wir genau, wie die Koordinatenrahmenzuweisungen vorgenommen werden.

## 3.2.1 Existenz- und Einzigartigkeitsfragen

Offensichtlich ist es nicht möglich, eine beliebige homogene Transformation mit nur vier Parametern darzustellen. Daher beginnen wir damit, zu bestimmen, welche homogenen Transformationen in der Form (3.10) ausgedrückt werden können. Angenommen, wir erhalten zwei Frames, die mit den Frames 0 bzw. 1 bezeichnet werden. Dann gibt es eine eindeutige homogene Transformationsmatrix A, die die Koordinaten von Frame 1 in die von Frame 0 übernimmt. Nehmen wir nun an, dass die beiden Frames zwei zusätzliche Merkmale haben, nämlich:

(DH1) Die Achse x1 steht senkrecht zur Achse z0

(DH2) Die Achse x1 schneidet die Achse z0

wie in Abbildung 3.2 dargestellt. Unter diesen Bedingungen behaupten wir, dass es eindeutige Zahlen a, d,  $\ddot{y}$ ,  $\ddot{y}$  gibt, so dass

$$A = Rotz, \ddot{y}Transz, dTransx, aRotx, \ddot{y}. \tag{3.11}$$

## 66KAPITEL 3. VORWÄRTSKINEMATIK: DIE DENAVIT-HARTENBERG-KONVENTION

Da ÿ und ÿ Winkel sind, meinen wir natürlich, dass sie innerhalb eines Vielfachen von 2ÿ eindeutig sind. Um zu zeigen, dass die Matrix A in dieser Form geschrieben werden kann, schreiben Sie A als

und ri bezeichne die i <sup>Th</sup> Spalte der Rotationsmatrix R0 1 . Wir werden nun das untersuchen Implikationen der beiden DH-Einschränkungen.

Wenn (DH1) erfüllt ist, dann ist x1 senkrecht zu z0 und wir haben x1  $\cdot$  z0 = 0. Wenn wir diese Einschränkung in Bezug auf o0x0y0z0 ausdrücken und dabei die Tatsache nutzen, dass r1 die Darstellung des Einheitsvektors x1 in Bezug auf Frame 0 ist, erhalten wir erhalten

$$0 = x \ 1 \qquad 0 \ 0 \cdot_{z \ 0} \tag{3.13}$$

= 
$$[r11, r21, r31]$$
  $^{\mathsf{T}} \cdot [0, 0, 1]\mathsf{T}$  (3.14)

Da r31 = 0, müssen wir jetzt nur noch zeigen, dass es eindeutige Winkel ÿ und ÿ gibt, so dass

Die einzige Information, die wir haben, ist, dass r31 = 0, aber das reicht aus. Erstens: Da jede Zeile und Spalte von R0,eine Einheitslänge haben muss, impliziert r31 = 0 dies

$$2_{r+1} + r_{21}^2 = 1, =$$
 $2_{r+2} + r_{33}^2 = 1$  (3.17)

Daher gibt es eindeutige ÿ, ÿ, so dass

$$(r11, r21) = (c\ddot{y}, s\ddot{y}),$$
  $(r33, r32) = (c\ddot{y}, s\ddot{y}).$  (3.18)

Sobald ÿ und ÿ gefunden sind, ist es Routine, zu zeigen, dass die verbleibenden Elemente von R0,die in (3.16) gezeigte Form haben müssen, indem man die Tatsache nutzi statische Sotationsmatrix.

Als nächstes bedeutet Annahme (DH2), dass die Verschiebung zwischen o0 und o1 als lineare Kombination der Vektoren z0 und x1 ausgedrückt werden kann. Dies kann als o1 = o0 + dz0 + ax1 geschrieben werden. Auch hier können wir diese Beziehung in den Koordinaten o0x0y0z0 und ausdrücken wir erhalten

$$0 = 0.0 + dz_0^0 + ax0_1$$
 (3.19)

$$= \int_{\hat{y}}^{ac\ddot{y}} as\ddot{y}$$

$$\int_{\hat{y}}^{d} d \ddot{y} \ddot{y},$$
(3.21)

## 3.2. DENAVIT HARTENBERG VERTRETUNG

67

Wenn wir die obigen Ergebnisse kombinieren, erhalten wir (3.10) wie behauptet. Wir sehen also, dass vier Parameter ausreichen, um jede homogene Transformation zu spezifizieren, die die Einschränkungen (DH1) und (DH2) erfüllt.

Nachdem wir nun festgestellt haben, dass jede homogene Transformationsmatrix, die die obigen Bedingungen (DH1) und (DH2) erfüllt, in der Form (3.10) dargestellt werden kann, können wir tatsächlich jede der vier Größen in (3.10) physikalisch interpretieren. Der Parameter a ist der Abstand zwischen den Achsen z0 und z1 und wird entlang der Achse x1 gemessen. Der Winkel ÿ ist der Winkel zwischen den Achsen z0 und z1, gemessen in einer Ebene normal zu x1. Der positive Sinn für ÿ wird von z0 bis z1 durch die Rechte-Hand-Regel bestimmt, wie in Abbildung 3.3 dargestellt. Der

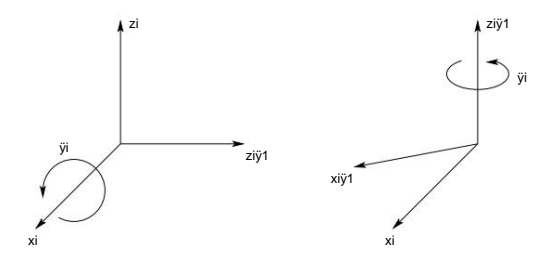


Abbildung 3.3: Positiver Sinn für ÿi und ÿi .

Parameter d ist der Abstand zwischen dem Ursprung o0 und dem Schnittpunkt der x1 -Achse mit z0, gemessen entlang der z0 -Achse. Schließlich ist ÿ der Winkel zwischen x0 und x1, gemessen in einer Ebene normal zu z0. Diese physikalischen Interpretationen werden sich bei der Entwicklung eines Verfahrens zur Zuweisung von Koordinatenrahmen, die die Einschränkungen (DH1) und (DH2) erfüllen, als nützlich erweisen, und wir richten unsere Aufmerksamkeit nun auf die Entwicklung eines solchen Verfahrens.

## 3.2.2 Zuweisung der Koordinatenrahmen

Für einen gegebenen Robotermanipulator kann man immer die Frames 0, wählen. .. , n so, dass die beiden oben genannten Bedingungen erfüllt sind. Unter bestimmten Umständen erfordert dies die Platzierung des Ursprungs oi des Rahmens i an einer Stelle, die intuitiv möglicherweise nicht zufriedenstellend ist, aber normalerweise ist dies nicht der Fall. Beim Lesen des folgenden Materials ist es wichtig zu bedenken, dass die Auswahl der verschiedenen Koordinatenrahmen nicht eindeutig ist, auch wenn sie durch die oben genannten Anforderungen eingeschränkt werden. Daher ist es möglich, dass verschiedene Ingenieure unterschiedliche, aber gleichermaßen korrekte Koordinatenrahmenzuordnungen für die Verbindungen des Roboters ableiten. Es ist jedoch sehr wichtig zu "°) wird unabhängig davon gleich sein beachten, dass das Endergebnis (d. h. die Matrix T der Zuweisung von Zwischenverbindungsrahmen (unter der Annahme, dass die Koordinatenrahmen für Verbindung n übereinstimmen). Wir beginnen mit der Ableitung des allgemeinen Verfahrens. Wir werden dann diskutieren verschiedene häufige Sonderfälle, in denen es möglich ist, die homogene Transformationsmatrix weiter zu vereinfachen.

## 68KAPITEL 3. VORWÄRTSKINEMATIK: DIE DENAVIT-HARTENBERG-KONVENTION

Beachten Sie zunächst, dass die Wahl von zi willkürlich ist. Insbesondere aus (3.16) sehen wir, dass wir durch geeignete Wahl von ÿi und ÿi jede beliebige Richtung für zi erhalten können. Daher weisen wir für unseren ersten Schritt die Achsen z0, zu. .. , znÿ1 auf eine intuitiv ansprechende Weise. Insbesondere weisen wir zi als Betätigungsachse für Gelenk i + 1 zu. Somit ist z0 die Betätigungsachse für Gelenk 1, z1 die Betätigungsachse für Gelenk 2 usw. Es sind zwei Fälle zu berücksichtigen: (i) Wenn das Gelenk i + 1 drehbar ist, ist zi die Rotationsachse des Gelenks i + 1; (ii) wenn das Gelenk i + 1 prismatisch ist, ist zi die Translationsachse des Gelenks i+1. Auf den ersten Blick mag es etwas verwirrend erscheinen, zi mit dem Gelenk i + 1 zu verknüpfen, aber denken Sie daran, dass dies der Konvention entspricht, die wir in Abschnitt 3.1 aufgestellt haben, nämlich dass das Gelenk i in Bezug auf den Rahmen i fixiert ist und dass das Gelenk i betätigt wird , verknüpfe i und den daran befestigten Rahmen, oixiyizi , erlebe eine resultierende Bewegung.

Sobald wir die Z-Achsen für die Verbindungen festgelegt haben, erstellen wir den Grundrahmen. Die Wahl des Untergestells ist nahezu beliebig. Wir können den Ursprung o0 des Basisrahmens als einen beliebigen Punkt auf z0 wählen. Wir wählen dann x0, y0 auf beliebige Weise, solange der resultierende Rahmen rechtshändig ist. Dadurch wird Frame 0 eingerichtet.

Sobald Frame 0 festgelegt ist, beginnen wir mit einem iterativen Prozess, in dem wir Frame i mithilfe von Frame i ÿ 1 definieren, beginnend mit Frame 1. Abbildung 3.4 wird für das Verständnis des Prozesses hilfreich sein, den wir jetzt beschreiben.

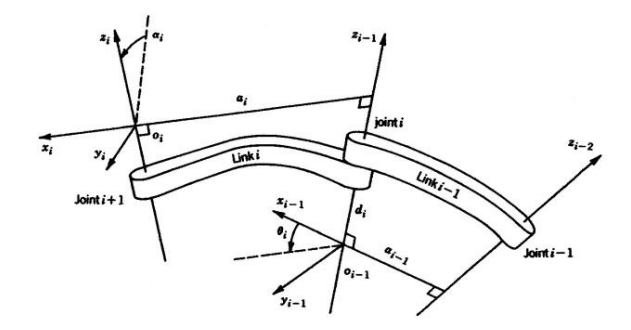


Abbildung 3.4: Denavit-Hartenberg-Rahmenzuordnung.

Um den Rahmen i einzurichten, müssen drei Fälle betrachtet werden: (i) die Achsen ziÿ1, zi sind nicht koplanar, (ii) die Achsen ziÿ1, zi schneiden sich (iii) die Achsen ziÿ1, zi sind parallel.

Beachten Sie, dass in beiden Fällen (ii) und (iii) die Achsen ziÿ1 und zi koplanar sind. Diese

Situation kommt tatsächlich recht häufig vor, wie wir in Abschnitt 3.3 sehen werden. Wir betrachten nun jeden diese

(i) ziÿ1 und zi sind nicht koplanar: Wenn ziÿl und zi nicht koplanar sind, dann existiert ein eindeutiges Liniensegment senkrecht zu ziÿ1 und zi, so dass es beide Linien verbindet und eine minimale Länge hat. Die Linie, die diese gemeinsame Normale zu ziÿ1 und zi enthält, definiert xi

## 3.2. DENAVIT HARTENBERG VERTRETUNG

parallel sind, ist ÿi in diesem Fall Null.

69

und der Punkt, an dem diese Linie zi schneidet, ist der Ursprung oi . Konstruktionsbedingt sind beide Bedingungen (DH1) und (DH2) erfüllt und der Vektor von oÿ¹ nach oi ist eine Linearkombination von ziÿ¹ und xi . Die Spezifikation des Rahmens i wird durch die Auswahl der Achse yi zur Bildung eines rechten Rahmens vervollständigt. Da die Annahmen (DH1) und (DH2) erfüllt sind, hat die homogene Transformationsmatrix Ai die Form (3.10).

(ii) ziÿ1 ist parallel zu zi: Wenn die Achsen ziÿ1 und zi parallel sind, dann gibt es unendlich viele gemeinsame Normalen zwischen ihnen und Bedingung (DH1) spezifiziert xi nicht vollständig.

In diesem Fall können wir den Ursprung oi an einer beliebigen Stelle entlang von zi wählen . Oft wählt man oi , um die resultierenden Gleichungen zu vereinfachen. Die Achse xi wird dann entweder so gewählt, dass sie entlang der gemeinsamen Normalen von oi nach ziÿī zeigt , oder als das Gegenteil dieses Vektors. Eine übliche Methode zur Auswahl von oi besteht darin, die Normale, die durch oiÿī verläuft, als xi- Achse zu wählen; oi ist dann der Punkt, an dem diese Normale zi schneidet . In diesem Fall wäre di gleich Null.

Sobald xi festgelegt ist, wird yi bestimmt, wie üblich durch die Rechte-Hand-Regel. Da die Achsen ziÿ1 und zi

(iii) ziÿ1 schneidet zi: In diesem Fall wird xi normal zur Ebene gewählt, die durch zi und ziÿ1 gebildet wird. Die positive Richtung von xi ist beliebig. Die natürlichste Wahl für den Ursprung von oi ist in diesem Fall der Schnittpunkt von zi und ziÿ1. Es reicht jedoch jeder geeignete Punkt entlang der zi -Achse aus. Beachten Sie, dass in diesem Fall der Parameter ai gleich 0 ist.

Dieses konstruktive Verfahren funktioniert für Frames 0,..., nÿl in einem n-Link-Roboter. Um die Konstruktion abzuschließen, ist es notwendig, Rahmen n anzugeben. Das endgültige Koordinatensystem onxnynzn wird üblicherweise als Endeffektor oder Werkzeugrahmen bezeichnet (siehe Abbildung 3.5). Der Ursprung

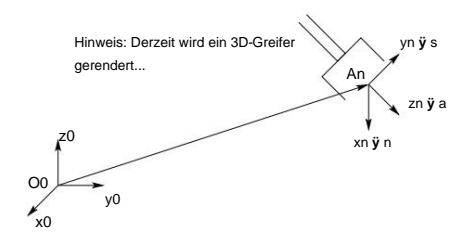


Abbildung 3.5: Werkzeugrahmenzuordnung.

on wird meist symmetrisch zwischen den Fingern des Greifers platziert. Die Einheitsvektoren entlang der xn-, yn- und zn -Achse werden mit n, s bzw. a bezeichnet. Die Terminologie ergibt sich aus der Tatsache, dass die Richtung a die Annäherungsrichtung ist, in dem Sinne, dass der Greifer typischerweise entlang der a-Richtung an ein Objekt heranfährt. Ebenso ist die s- Richtung die Gleitrichtung, die Richtung, entlang der die Finger des Greifers zum Öffnen und Schließen gleiten, und n ist die Richtung normal zur durch a und s gebildeten Ebene.

## 70KAPITEL 3. VORWÄRTSKINEMATIK: DIE DENAVIT-HARTENBERG-KONVENTION

Bei modernen Robotern ist die endgültige Gelenkbewegung eine Drehung des Endeffektors um ÿn und die letzten beiden Gelenkachsen, znÿ1 und zn, fallen zusammen. In diesem Fall ist die Transformation zwischen den letzten beiden Koordinatensystemen eine Verschiebung entlang znÿ1 um eine Distanz dn , gefolgt von einer Drehung von ÿn im Bogenmaß um znÿ1 (oder davor). Dies ist eine wichtige Beobachtung, die die Berechnung der inversen Kinematik im nächsten Kapitel vereinfachen wird.

Beachten Sie abschließend die folgende wichtige Tatsache. In allen Fällen, unabhängig davon, ob es sich um ein Rotationsgelenk oder ein Prismengelenk handelt, sind die Größen ai und ÿi immer für alle i konstant und charakteristisch für den Manipulator. Wenn das Gelenk i prismatisch ist, dann ist ÿi ebenfalls eine Konstante, währen habitel verschaft das Gelenk i rotierend ist, ist di in ähnlicher Weise konstant und ÿi die i
Gelenkvariable.

#### 3.2.3 Zusammenfassung

Wir können das obige Verfahren basierend auf der DH-Konvention im folgenden Algorithmus zur Ableitung der Vorwärtskinematik für jeden Manipulator zusammenfassen.

Schritt I: Lokalisieren und beschriften Sie die Gelenkachsen z0pnig.

Schritt 2: Grundrahmen aufbauen. Legen Sie den Ursprung irgendwo auf der z0-Achse fest. Die x0 und y0 Die Achsen werden zweckmäßigerweise so gewählt, dass sie einen rechten Rahmen bilden.

Für i = 1,..., n ÿ 1, führen Sie die Schritte 3 bis 5 aus.

Schritt 3: Suchen Sie den Ursprung oi dort, wo die gemeinsame Normale von zi und ziÿ1 zi schneidet . Wenn zi ziÿ1 schneidet, orte oi an diesem Schnittpunkt. Wenn zi und ziÿ1 parallel sind, platzieren Sie oi an einer beliebigen geeigneten Position entlang zi .

Schritt 4: Ermitteln Sie xi entlang der gemeinsamen Normalen zwischen ziÿ1 und zi durch oi oder in der Richtung normal zur Ebene ziÿ1 ÿ zi , wenn sich ziÿ1 und zi schneiden.

Schritt 5: Legen Sie vi fest , um einen rechten Rahmen zu vervollständigen.

Schritt 6: Richten Sie den Endeffektorrahmen ein . Unter der Annahme, dass das n-te Gelenk drehbar ist, setzen Sie zn = a entlang der Richtung znÿ1. Legen Sie den Ursprung bequem entlang der Zn-Achse fest, vorzugsweise in der Mitte des Greifers oder an der Spitze eines beliebigen Werkzeugs, das der Manipulator möglicherweise trägt. Setze yn = s in Richtung des Greiferschlusses und setze xn = n als s x a. Wenn das Werkzeug kein einfacher Greifer ist, stellen Sie xn und yn bequem ein, um einen rechten Rahmen zu bilden.

Schritt 7: Erstellen Sie eine Tabelle mit Verbindungsparameter,ncfli, ÿi, ÿi.

ai = Abstand entlang xi von oi zum Schnittpunkt der xi- und ziÿ1 -Achsen. di = Abstand entlang ziÿ1 von oiÿ1 bis zum Schnittpunkt der xi- und ziÿ1 -Achsen. di ist variabel, wenn das Gelenk i prismatisch ist.

ÿi = der Winkel zwischen ziÿ1 und zi . gemessen um xi (siehe Abbildung 3.3).

3.3. BEISPIELE 71

ÿi = der Winkel zwischen xiÿ1 und xi , gemessen um ziÿ1 (siehe Abbildung 3.3). ÿi ist variabel wenn Joint i revolute ist.

Schritt 8: Bilden Sie die homogenen Transformationsmatrizen Ai , indem Sie die obigen Parameter in (3.10) einsetzen.

Schritt 9: Form T $= 10^{\circ} = 10^{\circ}$  = A1 · · · An. Daraus ergibt sich dann die Position und Ausrichtung des Werkzeugs Rahmen ausgedrückt in Basiskoordinaten.

## 3.3 Beispiele

In der DH-Konvention ist  $\ddot{y}$  der einzige variable Winkel, daher vereinfachen wir die Notation, indem wir di für  $\cos \ddot{y}$  i usw. schreiben. Wir bezeichnen  $\ddot{y}1 + \ddot{y}2$  auch mit  $\ddot{y}12$  und  $\cos(\ddot{y}1 + \ddot{y}2)$  mit c12 usw. Bei den folgenden Beispielen ist es wichtig, sich daran zu erinnern, dass die DH-Konvention zwar systematisch ist, aber dennoch erhebliche Freiheit bei der Wahl einiger Manipulatorparameter zulässt. Dies gilt insbesondere bei parallelen Gelenkachsen oder bei prismatischen Gelenken.

Beispiel 3.1 Planarer Ellenbogenmanipulator Betrachten

Sie den planaren Zweigelenkarm aus Abbildung 3.6. Die Gelenkachsen z0 und z1 stehen normal auf

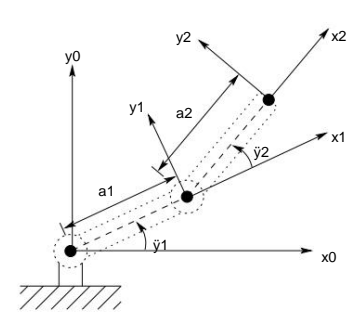


Abbildung 3.6: Planarer Manipulator mit zwei Gliedern. Die Z-Achsen zeigen alle aus der Seite heraus und sind in der Abbildung nicht dargestellt.

die Seite. Wir legen den Grundrahmen o0x0y0z0 wie gezeigt fest. Der Ursprung wird am Schnittpunkt der z0
-Achse mit der Seite gewählt und die Richtung der x0 -Achse ist völlig willkürlich. Sobald der Basisrahmen festgelegt ist, wird der Rahmen o1x1y1z1 gemäß der DH-Konvention fixiert, wobei der Ursprung o1 am Schnittpunkt von z1 und der Seite liegt.

Der endgültige Frame o2x2y2z2 wird festgelegt, indem der Ursprung o2 am Ende von Link 2 ausgewählt wird, wie gezeigt. Die Verbindungsparameter sind in Tabelle 3.1 aufgeführt. Die A-Matrizen werden aus (3.10) bestimmt als

#### 72KAPITEL 3. VORWÄRTSKINEMATIK: DIE DENAVIT-HARTENBERG-KONVENTION

Tabelle 3.1: Link-Parameter für den 2-Link-Planarmanipulator.

Link ai ÿ	i diÿia	1 <b>0 0</b> ÿ	ÿ a2 <b>0</b>	Οÿ
1	ÿ			1
2				2

<sup>9</sup> Variable

c1 
$$\ddot{y}$$
 s1 0 a1s1 s1  $\ddot{y}$  c1 0 a1s1 0 0 1 0  $\ddot{y}$  A1 = - 0 0 0 1 . (3.22)

Die T-Matrizen sind somit gegeben durch

$$\Gamma_{1}^{0} = A1.$$
 (3.24)

$$T_{2}^{0} = A1A2 = \begin{pmatrix} c12 \ \ddot{y} \ s12 \ 0 \ a1s1 + a2s12 \ 0 \ 1 \ 0 \\ 0 \ 0 \ 1 \\ \ddot{y} \ 0 \end{pmatrix} \qquad (3.25)$$

Beachten Sie, dass die ersten beiden Einträge der letzten Spalte von  ${4\over 2}$  sind die x- und y-Komponenten von der Ursprung o2 im Grundrahmen; das ist,

$$x = a1c1 + a2c12$$
 (3.26)  
 $y = a1s1 + a2s12$ 

sind die Koordinaten des Endeffektors im Basisrahmen. Der rotierende Teil der T-Ausrichtung des  $^0_2$  gibt dem Rahmens o2x2y2z2 relativ zum Grundrahmen.

Beispiel 3.2 Zylindrischer Roboter mit drei Gliedern Betrachten

Sie nun den zylindrischen Roboter mit drei Gliedern, der symbolisch in Abbildung 3.7 dargestellt ist. Wir legen ob fest , wie am Gelenk 1 gezeigt. Beachten Sie, dass die Platzierung des Ursprungs ob entlang zo sowie die Richtung der xo -Achse willkürlich sind. Unsere Wahl von ob ist die natürlichste, aber ob könnte genauso gut am Gelenk 2 platziert werden. Die Achse xo wird senkrecht zur Seite gewählt. Da zo und z1 zusammenfallen, wird als Nächstes der Ursprung o1 wie gezeigt am Gelenk 1 gewählt. Die x1- Achse verläuft normal zur Seite, wenn  $\bar{y}1$  = 0, aber ihre Richtung ändert sich natürlich, da  $\bar{y}1$  variabel ist. Da sich z2 und z1 schneiden, wird der Ursprung o2 an diesem Schnittpunkt platziert. Die Richtung von x2 wird gewählt

3.3. BEISPIELE 73

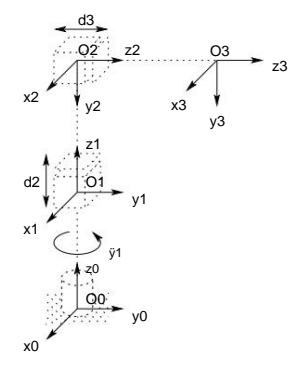


Abbildung 3.7: Dreigliedriger zylindrischer Manipulator.

Tabelle 3.2: Verbindungsparameter für den zylindrischen Manipulator mit 3 Verbindungen.

Link ai	,	ÿi	di ÿi	d1 ÿ
1	0	0	ÿ	1
2	0 ÿ	90 d 2 0	o d <sup>y</sup>	o
3	3		ÿ	0
	. 1	Variable		

parallel zu x1, so dass  $\ddot{y}2$  Null ist. Schließlich wird der dritte Frame am Ende von Link 3 ausgewählt, wie gezeigt.

Die Link-Parameter werden nun in Tabelle 3.2 angezeigt. Die entsprechenden A- und T-Matrizen

## 74KAPITEL 3. VORWÄRTSKINEMATIK: DIE DENAVIT-HARTENBERG-KONVENTION

Sind

$$A1 = \begin{array}{c} & c1 \ \ddot{y}s1 \ 0 \ 0 \ s1 \\ & \ddot{y} \ c1 \ 0 \ 0 \ 0 \ 1 \ d1 \\ & \ddot{y} \\ & 0 \ 0 \ 1 \\ & \ddot{y} \\ & 1 \ 0 \ 0 \\ & \ddot{y} \\ & 1 \ 0 \ 0 \\ & \ddot{y} \\ & 0 \ 0 \ 1 \ 0 \ d2 \ 0 \ 0 \\ & 0 \ 1 \ 0 \ d2 \ 0 \ 0 \\ & 0 \ 1 \ d3 \ 0 \ 0 \\ & \ddot{y} \\ & 1 \ 0 \ 0 \ 1 \ d3 \ 0 \ 0 \\ & \ddot{y} \ 1 \\ & 0 \ 0 \ 1 \ d3 \ 0 \ 0 \\ & \ddot{y} \ 1 \\ & \ddot{y} \\ & 0 \ 0 \ 1 \ d3 \ 0 \ 0 \\ & \ddot{y} \ 1 \\ & \ddot{y} \\ & 0 \ 0 \ 1 \ d3 \ 0 \ 0 \\ & \ddot{y} \ 1 \\ & \ddot{y} \\ & 0 \ 0 \ 1 \ d3 \ 0 \ 0 \\ & \ddot{y} \ 1 \\ & \ddot{y} \\ & 0 \ 0 \ 1 \ d3 \ 0 \ 0 \\ & \ddot{y} \ 1 \\ & \ddot{y} \\ & \ddot{y} \end{array}$$

$$T_{3}^{0} = A1A2A3 = \begin{cases} \ddot{y} & \text{c1 0 yst ystd3} \\ \ddot{y} & \text{s1 0 c1d3 0, } \ddot{y} \text{1 0 d1} \end{cases} \ddot{y} \\ - & \text{d2 0 0 0} \end{cases}$$
 (3.28)

Beispiel 3.3 Kugelförmiges Handgelenk

Abbildung 3.8: Die sphärische Handgelenkrahmenzuordnung.

Die sphärische Handgelenkskonfiguration ist in Abbildung 3.8 dargestellt, in der sich die Gelenkachsen z3, z4, z5 bei o schneiden. Die Denavit-Hartenberg-Parameter sind in Tabelle 3.3 aufgeführt. Der Stanford-Manipulator ist ein Beispiel für einen Manipulator, der über ein solches Handgelenk verfügt. Tatsächlich gilt die folgende Analyse für praktisch alle sphärischen Handgelenke

Wir zeigen nun, dass die letzten drei Gelenkvariablen ÿ4, ÿ5, ÿ6 die Euler-Winkel ÿ, ÿ bzw. ÿ in Bezug auf den Koordinatenrahmen o3x3y3z3 sind. Um dies zu sehen, müssen wir nur rechnen

3.3. BEISPIELE 75

Tabelle 3.3: DH-Parameter für sphärisches Handgelenk.

Link		ÿi	di ÿi			
20	0 ў	<b>900ÿ</b> ÿ		4		
5	0 9	<b>0 0 ÿ</b> ÿ		5		
6	0	0	d6 ÿ	-		
	∘ Variable					

die Matrizen A4, A5 und A6 unter Verwendung von Tabelle 3.3 und dem Ausdruck (3.10). Das gibt

Wenn man diese miteinander multipliziert, erhält man die Ergebnisse

Vergleich des Rotationsteils R3  $_6$  von  $^6_5$  mit der Eulerschen Winkeltransformation (2.51) zeigt dass  $\ddot{y}4, \ddot{y}5, \ddot{y}6$  tatsächlich als die Euler-Winkel  $\ddot{y}, \ddot{y}$  und  $\ddot{y}$  in Bezug auf identifiziert werden können Koordinatenrahmen o3x3y3z3.

Beispiel 3.4 Zylindrischer Manipulator mit sphärischem Handgelenk

Angenommen, wir befestigen nun ein kugelförmiges Handgelenk am zylindrischen Manipulator aus Beispiel 3.3.2, wie in Abbildung 3.9 gezeigt. Beachten Sie, dass die Drehachse von Gelenk 4 parallel zu z2 verläuft und fällt somit mit der Achse z3 aus Beispiel 3.3.2 zusammen. Das bedeutet, dass wir es können

## 76KAPITEL 3. VORWÄRTSKINEMATIK: DIE DENAVIT-HARTENBERG-KONVENTION

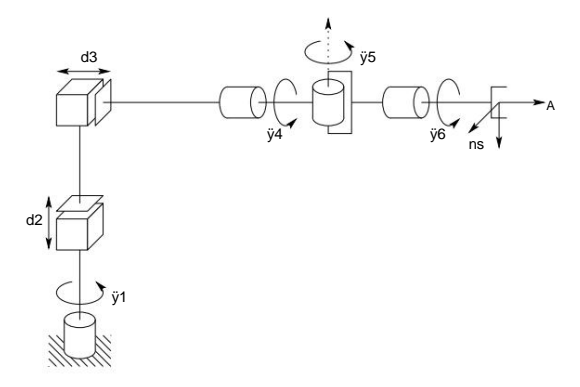


Abbildung 3.9: Zylindrischer Roboter mit sphärischem Handgelenk.

Kombinieren Sie sofort die beiden vorherigen Ausdrücke (3.28) und (3.32), um den Vorwärtswert abzuleiten Kinematik als

$$T_{6}^{0} = T_{3}^{0} T_{6}^{3}$$
 (3.33)

mit T  $^0_3$  gegeben durch (3.28) und T  $^3_6$  gegeben durch (3.32). Daher die Vorwärtskinematik davon Manipulator wird beschrieben von

3.3. BEISPIELE 77

Wo

r11 = c1c4c5c6 ÿ c1s4s6 + s1s5c6

r21 = s1c4c5c6 ÿ s1s4s6 ÿ c1s5c6

r31 = ÿs4c5c6 ÿ c4s6

r12 = ÿc1c4c5s6 ÿ c1s4c6 ÿ s1s5c6

r22 = ÿs1c4c5s6 ÿ c1s4s6 + c1s5c6

r32 = s4c5c6 ÿ c4c6

r13 = c1c4s5 ÿ s1c5

r23 = s1c4s5 + c1c5

r33 = ÿs4s5

dx = c1c4s5d6 ÿ s1c5d6 ÿ s1d3

dy = s1c4s5d6 + c1c5d6 + c1d3 dz =

ÿs4s5d6 + d1 + d2.

Beachten Sie, dass der größte Teil der Komplexität der Vorwärtskinematik dieses Manipulators aus der Ausrichtung des Endeffektors resultiert, während der Ausdruck für die Armposition aus (3.28) ziemlich einfach ist. Die Annahme eines sphärischen Handgelenks vereinfacht hier nicht nur die Ableitung der Vorwärtskinematik, sondern wird auch das Problem der inversen Kinematik im nächsten Kapitel erheblich vereinfachen.

ÿ

## Beispiel 3.5 Stanford-Manipulator

Betrachten Sie nun den in Abbildung 3.10 gezeigten Stanford-Manipulator. Dieser Manipulator ist ein

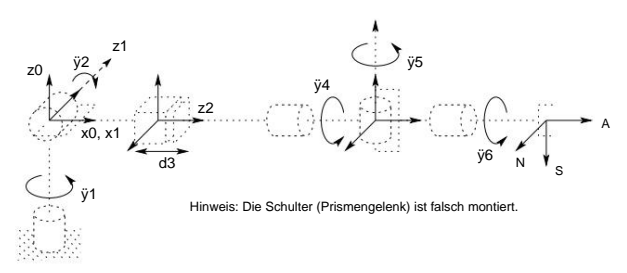
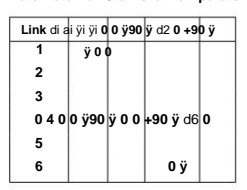


Abbildung 3.10: Zuordnung des DH-Koordinatenrahmens für den Stanford-Manipulator.

Beispiel eines sphärischen (RRP) Manipulators mit sphärischem Handgelenk. Dieser Manipulator weist einen Versatz im Schultergelenk auf, der sowohl die Probleme der Vorwärts- als auch der Rückwärtskinematik etwas erschwert.

## 78KAPITEL 3. VORWÄRTSKINEMATIK: DIE DENAVIT-HARTENBERG-KONVENTION

Tabelle 3.4: DH-Parameter für Stanford Manipulator.



<sup>7</sup> Gelenkvariable

Wir erstellen zunächst die gemeinsamen Koordinatensysteme mithilfe der DH-Konvention, wie gezeigt. Der Die Verbindungsparameter sind in Tabelle 3.4 aufgeführt.

ÿ O

Es ist einfach , die Matrizen Ai zu berechnen

ÿ

3.3. BEISPIELE

## T 0 ist dann gegeben als

$$T_{6}^{0} = A1 \cdots A6$$
 (3.41)
$$= \begin{array}{c} r11 \ r12 \ r13 \ dx \\ \hline {}^{\bar{y}} \ r21 \ r22 \ r23 \ dy \ r31 \\ \hline {}^{\bar{y}} \ r32 \ r33 \ dz \ 0 \ 0 \ 0 \ 1 \end{array}$$
 (3.42)

Wo

(3.44)

y

## Beispiel 3.6 SCARA-Manipulator

Betrachten Sie als weiteres Beispiel für das allgemeine Verfahren den SCARA-Manipulator in Abbildung 3.11. Dieser Manipulator, der eine Abstraktion des AdeptOne-Roboters aus Abbildung 1.11 ist, besteht aus einem RRP-Arm und einem Handgelenk mit einem Freiheitsgrad, dessen Bewegung eine Rolle um die vertikale Achse ist. Der erste Schritt besteht darin, die Gelenkachsen wie gezeigt zu lokalisieren und zu beschriften. Da alle Gelenkachsen parallel sind, haben wir eine gewisse Freiheit bei der Platzierung der Ursprünge. Der Einfachheit halber werden die Ursprünge wie gezeigt platziert. Wir legen die x0 -Achse wie gezeigt in der Ebene der Seite fest. Dies ist völlig willkürlich und betrifft nur die Nullkonfiguration des Manipulators, also die Position des Manipulators, wen  $\hat{y}$ 1 = 0.

Die Verbindungsparameter sind in Tabelle 3.5 angegeben und die A-Matrizen lauten wie folgt.

## 80KAPITEL 3. VORWÄRTSKINEMATIK: DIE DENAVIT-HARTENBERG-KONVENTION

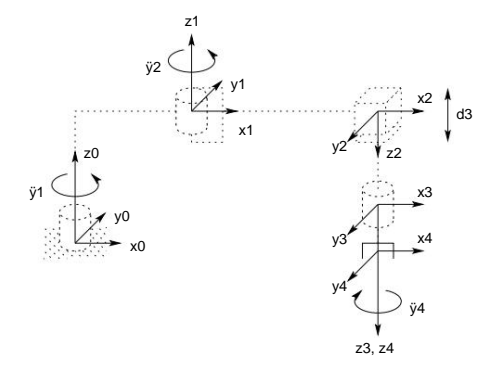


Abbildung 3.11: DH-Koordinatenrahmenzuordnung für den SCARA-Manipulator.

Tabelle 3.5: Gelenkparameter für SCARA.

Link ai 1		ÿi	di ÿ	0
		0	ÿа	1
2	a2 1	80 0 ÿ	0 0 ÿ	0
	0 0	d4 <b>ÿ</b>		
3 4				

Gelenkvariable

$$A3 = \begin{array}{c} & 1000 \\ & 990100 \\ & & &$$

3.3. BEISPIELE

81

82KAPITEL 3. VORWÄRTSKINEMATIK: DIE DENAVIT-HARTENBERG-KONVENTION

Die vorwärtskinematischen Gleichungen sind daher gegeben durch

	c12	_			
T 0 = A1 · · · A4 =	ÿ s12	ÿ			
4 = A1 · · · A4 =	,	0	0	ÿ1 ÿd3 ÿ d4	, (3.49)
	ÿ	0	0	01	ÿ

ÿ

## Kapitel 4

## **INVERSE KINEMATIK**

Im vorherigen Kapitel haben wir gezeigt, wie man die Position und Ausrichtung des Endeffektors anhand der Gelenkvariablen bestimmt. In diesem Kapitel geht es um das umgekehrte Problem, die Gelenkvariablen in Bezug auf die Position und Ausrichtung des Endeffektors zu finden. Dies ist das Problem der inversen Kinematik und im Allgemeinen schwieriger als das Problem der Vorwärtskinematik.

In diesem Kapitel beginnen wir mit der Formulierung des allgemeinen Problems der inversen Kinematik. Anschließend beschreiben wir das Prinzip der kinematischen Entkopplung und wie es zur Vereinfachung der inversen Kinematik der meisten modernen Manipulatoren genutzt werden kann. Mithilfe der kinematischen Entkopplung können wir die Positions- und Orientierungsprobleme unabhängig voneinander betrachten. Wir beschreiben einen geometrischen Ansatz zur Lösung des Positionierungsproblems, während wir die Euler-Winkelparametrisierung zur Lösung des Orientierungsproblems nutzen.

## 4.1 Das allgemeine Problem der inversen Kinematik

Das allgemeine Problem der inversen Kinematik lässt sich wie folgt formulieren. Gegeben sei eine homogene 4 x 4-Transformation

$$H = \begin{pmatrix} R \circ 0 \\ 1 & \ddot{y} \text{ SE(3)} \end{pmatrix} \tag{4.1}$$

Finden Sie mit R ÿ SO(3) (eine oder alle) Lösungen der Gleichung

$$T_{u}^{o}(q1,...,qn) = H$$
 (4.2)

Wo

$$T_{N}^{0}(q1,...,qn) = A1(q1)\cdots An(qn).$$
 (4.3)

Hier stellt H die gewünschte Position und Ausrichtung des Endeffektors dar, und unsere Aufgabe besteht darin, die Werte für die Gelenkvariablen q1, zu finden. ..., qn so dass  $T_{_{\rm N}}^{^{0}}$  (q1, ..., qn) = H.

83

## KAPITEL 4. INVERSE KINEMATIK

Gleichung (4.2) führt zu zwölf nichtlinearen Gleichungen in n unbekannten Variablen, die wie folgt geschrieben werden können

Tij 
$$(q1, ..., qn) = hij$$
,  $4i = 1, 2, 3, j = 1, ...$ , (4.4)

wobei sich Tij , hij auf die zwölf nichttrivialen Einträge von T " bzw. H. (Da und H (0,0,0,1) sind, sind beziehen. Die untere Reihe", vier der sechzehn Gleichungen dargestellt durch von beiden T (4.2) ist trivial.)

## Beispiel 4.1

84

Erinnern Sie sich an den Stanford-Manipulator aus Beispiel 3.3.5. Angenommen, die gewünschte Position und Die Ausrichtung des endgültigen Rahmens ist gegeben durch

H = 
$$\begin{pmatrix} r11 & r12 & r13 & ox & \ddot{y} \\ \ddot{y} & R21 & R22 & R23 & Oy & \ddot{y} \\ r31 & r32 & r33 & oz & 0 & 0 & 0 & 1 \\ \ddot{y} & \ddot{y} & \ddot{y} \end{pmatrix}$$
 (4.5)

Um die entsprechenden Gelenkvariablen ÿ1, ÿ2, d3, ÿ4, ÿ5 und ÿ6 zu finden , müssen wir den folgenden simultanen Satz nichtlinearer trigonometrischer Gleichungen lösen (vgl. (3.43) und (3.44)):

Die Gleichungen im vorherigen Beispiel sind natürlich viel zu schwierig, um sie direkt in geschlossener Form zu lösen. Dies ist bei den meisten Roboterarmen der Fall. Daher müssen wir effiziente und systematische Techniken entwickeln, die die besondere kinematische Struktur des Manipulators nutzen. Während das Vorwärtskinematikproblem immer eine eindeutige Lösung hat, die einfach durch Auswertung der Vorwärtsgleichungen erhalten werden kann, kann es für das inverse Kinematikproblem eine Lösung geben oder auch nicht. Selbst wenn eine Lösung existiert, kann sie eindeutig sein oder auch nicht.

4.2. KINEMATISCHE ENTKOPPELUNG

Da es sich bei diesen vorwärtskinematischen Gleichungen außerdem im Allgemeinen um komplizierte nichtlineare Funktionen der Gelenkvariablen handelt, kann es schwierig sein, die Lösungen zu erhalten, selbst wenn sie existieren.

Bei der Lösung des Problems der inversen Kinematik sind wir vor allem daran interessiert, eine geschlossene Lösung der Gleichungen zu finden und nicht eine numerische Lösung. Um eine Lösung in geschlossener Form zu finden, muss eine explizite Beziehung gefunden werden:

$$qk = fk(h11, ..., h34), k = 1, ...,$$
 (4.6)

85

Geschlossene Lösungen sind aus zwei Gründen vorzuziehen. Erstens müssen in bestimmten Anwendungen, wie zum Beispiel der Verfolgung einer Schweißnaht, deren Position von einem Bildverarbeitungssystem bereitgestellt wird, die inversen kinematischen Gleichungen schnell gelöst werden, beispielsweise alle 20 Millisekunden, und geschlossene Ausdrücke anstelle einer iterativen Suche zu verwenden praktische Notwendigkeit. Zweitens haben die kinematischen Gleichungen im Allgemeinen mehrere Lösungen. Wenn geschlossene Lösungen vorliegen, können Regeln für die Auswahl einer bestimmten Lösung unter mehreren entwickelt werden.

Die praktische Frage nach der Existenz von Lösungen für das Problem der inversen Kinematik hängt sowohl von technischen als auch von mathematischen Überlegungen ab. Beispielsweise kann die Bewegung der Drehgelenke auf weniger als volle 360 Grad Drehung beschränkt sein, so dass nicht alle mathematischen Lösungen der kinematischen Gleichungen physikalisch realisierbaren Konfigurationen des Manipulators entsprechen. Wir gehen davon aus, dass die gegebene Position und Orientierung so ist, dass mindestens eine Lösung von (4.2) existiert. Sobald eine Lösung für die mathematischen Gleichungen gefunden ist, muss diese weiter überprüft werden, um festzustellen, ob sie alle Einschränkungen hinsichtlich der Bereiche möglicher Gelenkbewegungen erfüllt oder nicht. Für unsere Zwecke hier gehen wir nun davon aus, dass die gegebene homogene Matrix H in (4.2) einer Konfiguration innerhalb des Arbeitsraums des Manipulators mit einer erreichbaren Orientierung entspricht. Dies gewährleistet dann, dass die erhaltenen mathematischen Lösungen erreichbaren Konfigurationen entsprechen.

## 4.2 Kinematische Entkopplung

Obwohl das allgemeine Problem der inversen Kinematik ziemlich schwierig ist, zeigt sich, dass es bei Manipulatoren mit sechs Gelenken, bei denen sich die letzten drei Gelenke in einem Punkt schneiden (wie der Stanford-Manipulator oben), möglich ist, das Problem der inversen Kinematik in zwei zu entkoppeln einfachere Probleme, die als inverse Positionskinematik bzw. inverse Orientierungskinematik bekannt sind. Anders ausgedrückt: Für einen 6-DOF-Manipulator mit sphärischem Handgelenk kann das Problem der inversen Kinematik in zwei einfachere Probleme unterteilt werden, nämlich erstens das Finden der Position des Schnittpunkts der Handgelenksachsen, im Folgenden als Handgelenksmitte bezeichnet, und dann Finden der Ausrichtung des Handgelenks.

Der Konkretheit halber nehmen wir an, dass es genau sechs Freiheitsgrade gibt und dass sich die letzten drei Gelenkachsen in einem Punkt oc schneiden . Wir drücken (4.2) als zwei Gleichungssätze aus, die die Rotations- und Positionsgleichungen darstellen

$$R_{6}^{0}(q_{1},...,q_{6}) = R$$
 (4,7)

$$_{\text{der } 6}^{\circ}(q1, \dots, q6) = \mathbf{0}$$
 (4.8)

KAPITEL 4. INVERSE KINEMATIK

Dabei sind o und R die gewünschte Position und Ausrichtung des Werkzeugrahmens, ausgedrückt in Bezug auf das Weltkoordinatensystem. Somit sind uns o und R gegeben, und das Problem der inversen Kinematik muss nach q1 gelöst werden.... 66.

Die Annahme eines sphärischen Handgelenks bedeutet, dass sich die Achsen z3, z4 und z5 bei oc schneiden und daher die von der DH-Konvention zugewiesenen Ursprünge o4 und o5 immer im Handgelenkszentrum oc liegen. Oft wird o3 auch bei oc sein , was für unsere spätere Entwicklung aber nicht notwendig ist. Der wichtige Punkt dieser Annahme für die inverse Kinematik besteht darin, dass die Bewegung der letzten drei Verbindungen um diese Achsen die Position von oc nicht verändert und die Position des Handgelenkszentrums somit nur eine Funktion der ersten drei Gelenkvariablen ist.

Der Ursprung des Werkzeugrahmens (dessen gewünschte Koordinaten durch o angegeben werden) wird einfach durch eine Verschiebung des Abstands d6 entlang z5 von oc ermittelt (siehe Tabelle 3.3). In unserem Fall sind z5 und z6 die gleiche Achse und die dritte Spalte von R drückt die Richtung von z6 in Bezug auf den Grundrahmen aus. Deshalb haben wir

Damit sich der Endeffektor des Roboters an dem Punkt befindet, dessen Koordinaten durch o und die Ausrichtung des Endeffektors durch R = (rij ) gegeben sind , ist es notwendig und ausreichend, dass die Handgelenkmitte oc die angegebenen Koordinaten hat von

und dass die Ausrichtung des Rahmens o6x6y6z6 in Bezug auf die Basis durch R gegeben ist. Wenn die Komponenten der Endeffektorposition o mit ox, oy, oz und die Komponenten des Handgelenkszentrums obezeichnet werden 6 werden mit xc. yc, zc bezeichnet, dann gibt (4.10) die Beziehung an

Mit Gleichung (4.11) können wir die Werte der ersten drei Gelenkvariablen ermitteln. Dies hängt nur von bestimmt die Orientierungstransformation R0 3 diesen ersten drei gemeinsamen Variablen ab. Aus dem Ausdruck können wir nun die Ausrichtung des Endeffektors relativ zum Rahmen o3x3y3z3 bestimmen

$$R = R$$
  ${}^{0}_{3}R^{3}_{6}$  (4.12)

als

$$R_{6}^{3} = (R_{2}^{0}) \ddot{y} 1 R = (R_{2}^{0})^{T} R.$$
 (4.13)

Wie wir in Abschnitt 4.4 sehen werden, können die endgültigen drei Gelenkwinkel dann als Satz von Euler-Winkeln gefunden werden, die R3 6 entsprechen. Beachten Sie, dass die rechte Seite von (4.13) vollständig bekannt ist, da R gegeben ist und R0 gerechnet werden kann, sobald die ersten drei Gelenkvariablen bekannt sind. Die Idee der kinematischen Entkopplung ist in Abbildung 4.1 dargestellt.

## 4.3. INVERSE POSITION: EIN GEOMETRISCHER ANSATZ

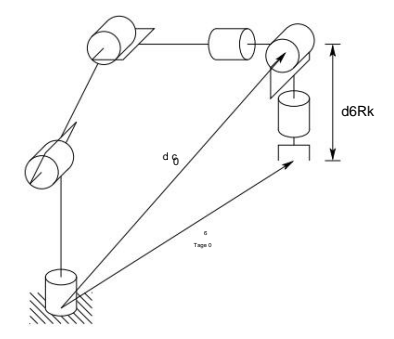


Abbildung 4.1: Kinematische Entkopplung.

## Zusammenfassung

Für diese Klasse von Manipulatoren kann die Bestimmung der inversen Kinematik durch den folgenden Algorithmus zusammengefasst werden.

Schritt 1: Finden Sie q1, q2, q3, so dass der Handgelenkmittelpunkt oc die durch gegebenen Koordinaten hat

$$\begin{array}{ccc} & & & & & & & & & & \\ ^{0}\circ\circ&&=o\;\ddot{y}\;\text{d6R} & & & & & & \\ ^{0}\circ^{1}\;\ddot{v}\;\ddot{v} & & & & & \\ \end{array}$$

Schritt 2: Bewerten Sie R0 anhand der in Schritt 1 ermittelten Gelenkvariablen 3.

Schritt 3: Finden Sie einen Satz Euler-Winkel, der der Rotationsmatrix entspricht

$$R_{6}^{3} = (R_{3}^{0}) \ddot{y} 1 R = (R_{3}^{0})^{T} R.$$
 (4.15)

## 4.3 Inverse Position: Ein geometrischer Ansatz

Für die üblichen kinematischen Anordnungen, die wir betrachten, können wir einen geometrischen Ansatz verwenden, um die Quriablen q1, q2, q3 zu finden, die dem durch (4.10) gegebenen o entsprechen. Wir beschränken unsere Behandlung aus zwei Gründen auf den geometrischen Ansatz. Erstens sind die meisten gegenwärtigen Manipulatorkonstruktionen, wie bereits erwähnt, kinematisch einfach und bestehen normalerweise aus einer der fünf Grundkonftigurationen aus Kapitel 1 mit einem sphärischen Handgelenk. Tatsächlich ist es teilweise auf die Schwierigkeit des allgemeinen Problems der inversen Kinematik zurückzuführen, dass sich Manipulatorkonstruktionen zu ihrem gegenwärtigen Stand entwickelt haben.
Zweitens gibt es nur wenige Techniken, die das allgemeine Problem der inversen Kinematik für beliebige

Zweitens gibt es nur wenige Techniken, die das allgemeine Problem der inversen Kinematik für beliebige Konfigurationen lösen können. Da der Leser am ehesten auf Roboterkonfigurationen stößt KAPITEL 4. INVERSE KINEMATIK

Bei der hier betrachteten Art erscheint die zusätzliche Schwierigkeit, die mit der Behandlung des allgemeinen Falles verbunden ist, ungerechtfertigt. Zur Behandlung des allgemeinen Falles wird der Leser auf die Verweise am Ende des Kapitels verwiesen.

Im Allgemeinen nimmt die Komplexität des Problems der inversen Kinematik mit der Anzahl der Verbindungsparameter ungleich Null zu. Bei den meisten Manipulatoren sind viele der ai di null, die ÿi sind 0 oder ±ÿ/2 usw. Insbesondere in diesen Fällen ist ein geometrischer Ansatz der einfachste und natürlichste. Wir werden dies anhand einiger wichtiger Beispiele veranschaulichen.

## Gelenkkonfiguration

Betrachten Sie den in Abbildung 4.2 gezeigten Ellenbogenmanipulator mit den Komponenten o mal xc, yc, zc. Wir copizieren oc auf die x0 ÿ y0 -Ebene, wie in Abbildung 4.3 gezeigt.

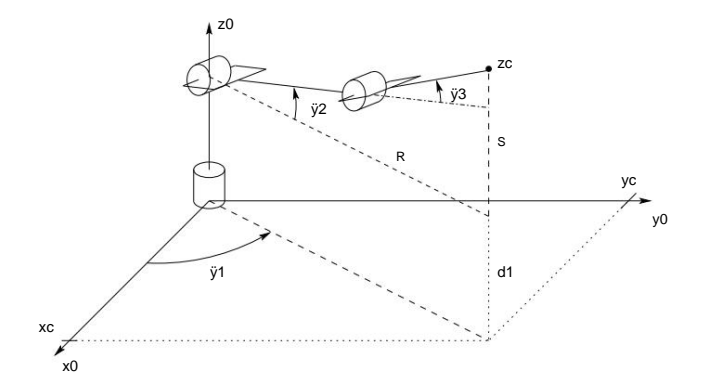


Abbildung 4.2: Ellenbogenmanipulator.

Das sehen wir aus dieser Projektion

$$\ddot{y}1 = A \tan(xc, yc),$$
 (4.16)

wobei A  $\tan(x, y)$  die Arkustangensfunktion mit zwei Argumenten bezeichnet. Ein  $\tan(x, y)$  ist für alle (x, y) = (0, 0) definiert und entspricht dem eindeutigen Winkel  $\ddot{y}$ , so dass

$$\cos \ddot{y} = \frac{x}{(X^2 + y 2)^{\frac{1}{2}}}, \quad \text{Sünde } \ddot{y} = \frac{j}{(X^2 + y 2)^{\frac{1}{2}}}. \tag{4.17}$$

Zum Beispiel: A tan(1, ÿ1) = ÿ ¾ während A tan(ÿ1, 1) = +3ÿ ¬
Beachten Sie, dass eine zweite gültige Lösung für ÿ1 ist

$$\ddot{y}1 = \ddot{y} + A \tan(xc, yc). \tag{4.18}$$

## 4.3. INVERSE POSITION: EIN GEOMETRISCHER ANSATZ

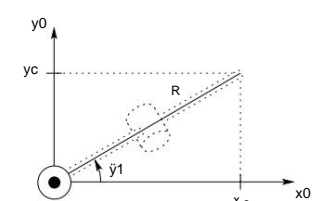


Abbildung 4.3: Projektion des Handgelenkszentrums auf die x0 ÿ y0 -Ebene.

Natürlich führt dies wiederum zu unterschiedlichen Lösungen für ÿ2 und ÿ3, wie wir weiter unten sehen werden.

Diese Lösungen für ÿ1 sind gültig, es sei denn, xc = yc = 0. In diesem Fall ist (4.16) undefiniert und der Manipulator befindet sich in einer singulären Konfiguration, wie in Abbildung 4.4 dargestellt. In dieser Position ist die

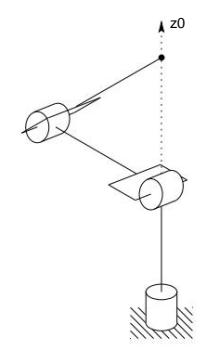


Abbildung 4.4: Singularkonfiguration.

Handgelenkmitte oc schneidet z0; Daher lässt jeder Wert von  $\ddot{y}1$  oc fest . Es gibt also unendlich viele Lösungen für  $\ddot{y}1$ , wenn oc z0 schneidet .

Wenn es einen Versatz d = 0 gibt, wie in Abbildung 4.5 gezeigt, kann die Handgelenkmitte z0 nicht schneiden. In diesem Fall ergibt sich je nach Zuweisung der DH-Parameter d2 = d oder d3 = d. In diesem Fall wird es im Allgemeinen nur zwei Lösungen für  $\dot{y}1$  geben. Diese entsprechen den sogenannten linken Arm- und rechten Armkonfigurationen, wie in den Abbildungen 4.6 und 4.7 dargestellt. Abbildung 4.6 zeigt die Konfiguration des linken Arms. Aus dieser Abbildung sehen wir das geometrisch

$$\ddot{y}1 = \ddot{y} \ddot{y} \ddot{y} \tag{4.19}$$

## KAPITEL 4. INVERSE KINEMATIK

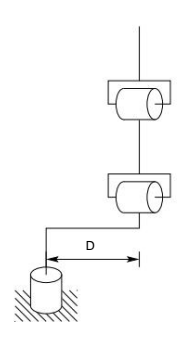


Abbildung 4.5: Ellenbogenmanipulator mit Schulterversatz.

Wo

$$\ddot{y} = A \tan(xc, yc) \ddot{y} d$$
 (4.20)

$$2 \ddot{y} = A \tan r$$
 (4.21)

= Ein tan x 
$$\frac{2}{c}$$
 +  $\frac{1}{c}$   $\frac{2}{c}$   $\frac{1}{c}$   $\frac{1}{c}$ 

Die zweite Lösung, die durch die in Abbildung 4.7 gezeigte Konfiguration des rechten Arms gegeben ist, ist gegeben durch

$$\ddot{y}$$
1 = A tan(xc, yc) + A tan  $\ddot{y}$  r  $\frac{2 \ddot{y} d 2}{}$ ,  $\ddot{y} d$ . (4.22)

Um dies zu sehen, beachten Sie das

$$\ddot{y}1 = \ddot{y} + \ddot{y} \ddot{y} = (4,23)$$

A 
$$tan(xc, yc) \ddot{y} = \ddot{y} + \ddot{y}$$
 (4,24)

$$\ddot{y} = A \tan(r \frac{2 \ddot{y} d^2}{d^2})$$
 (4,26)

was zusammengenommen das impliziert

da  $cos(\ddot{y} + \ddot{y}) = \ddot{y} cos(\ddot{y})$  und  $sin(\ddot{y} + \ddot{y}) = \ddot{y} sin(\ddot{y})$ .

Um die Winkel  $\ddot{y}2$ ,  $\ddot{y}3$  für den Ellenbogenmanipulator bei gegebenem  $\ddot{y}1$  zu ermitteln, betrachten wir die durch die zweite und dritte Verbindung gebildete Ebene, wie in Abbildung 4.8 dargestellt. Seit der Bewegung von Links

## 4.3. INVERSE POSITION: EIN GEOMETRISCHER ANSATZ

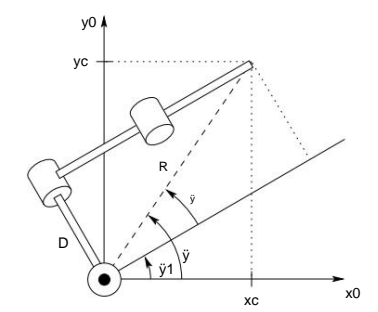


Abbildung 4.6: Konfiguration des linken Arms.

Da zwei und drei planar sind, ist die Lösung analog zu der des zweigliedrigen Manipulators aus Kapitel

1. Wie in unserer vorherigen Ableitung (vgl. (1.8) und (1.9)) können wir das Kosinusgesetz anwenden,
um zu erhalten

$$\cos \ddot{y}3 = \frac{2222 + \text{sr}\,\ddot{y}\,a\,\ddot{y}\,a\,2\,3}{2a2a3}$$

$$= \frac{2^{x}\ddot{c} + J^{2}\ddot{y}\,d^{2} + z^{2}\ddot{y}\,a^{2}}{2a2a3} := D,$$

$$(4.29)$$

91

seit r  $^2$   $_2 = x_c + J_c^2 \ddot{y} d^2$  und s = zc. Daher ist  $\ddot{y}$ 3 gegeben durch

$$\ddot{y}$$
3 = A tan D, ± 1  $\ddot{y}$  D2. (4.30)

Ebenso ist ÿ2 gegeben als

$$\ddot{y}$$
2 = A tan(r, s)  $\ddot{y}$  A tan(a2 + a3c3, a3s3) (4.31)  
= Ein tan x  $\frac{2}{c}$  + J  $\frac{2}{c}$   $\ddot{y}$  d 2, zc  $\ddot{y}$  A tan(a2 + a3c3, a3s3).

Die beiden Lösungen für  $\mathring{y}3$  entsprechen der Ellenbogen-nach-oben-Position bzw. der Ellenbogen-nach-unten-Position.

Ein Beispiel für einen Ellenbogenmanipulator mit Offsets ist der in Abbildung 4.9 dargestellte PUMA.
Wie gezeigt, gibt es vier Lösungen für die Umkehrpositionskinematik. Diese entsprechen den Situationen
linker Arm – Ellenbogen nach oben, linker Arm – Ellenbogen nach unten, rechter Arm – Ellenbogen
nach oben und rechter Arm – Ellenbogen nach unten. Wir werden sehen, dass es zwei Lösungen für die
Handgelenksorientierung gibt, sodass sich insgesamt acht Lösungen der inversen Kinematik für den PUMA-Manipulator ergeben.

92 KAPITEL 4. INVERSE KINEMATIK

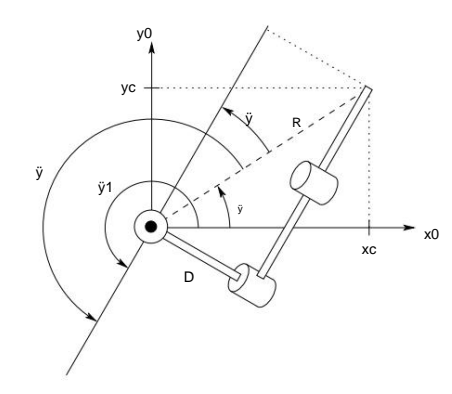


Abbildung 4.7: Konfiguration des rechten Arms.

## Kugelförmige Konfiguration

Als nächstes lösen wir die inverse Positionskinematik für einen sphärischen Manipulator mit drei Freiheitsgraden, der in Abbildung 4.10 dargestellt ist. Wie beim Ellenbogenmanipulator ist die erste Gelenkvariable die Basisrotation und eine Lösung wird als angegeben

$$\ddot{y}1 = A \tan(xc, yc)$$
 (4.32)

vorausgesetzt xc und yc sind nicht beide Null. Wenn sowohl xc als auch yc Null sind, ist die Konfiguration wie zuvor singulär und  $\ddot{y}1$  kann jeden Wert annehmen.

Der Winkel ÿ2 ergibt sich aus Abbildung 4.10 als

$$\ddot{y}$$
2 = A tan(r, s) + 2  $\ddot{y}$  (4.33)

wobei r  $_{\rm c}^{+}$ 2 füriÿ $_{\rm c}^{+}$ 3 = zc ÿ d1. Wie im Fall des Ellenbogenmanipulators eine zweite Lösung gegeben ist durch

$$\ddot{y}1 = \ddot{y} + A \tan(xc, yc);$$
 (4.34)

Der lineare Abstand d3 ergibt sich als

d3 = 
$$r$$
  $\frac{2 + s^2}{2 + s^2}$   $2 = x c$   $\frac{1}{2 + 3c^2} + (xc \ddot{y} d1) 2.$  (4.35)

Die negative Quadratwurzellösung für d3 wird vernachlässigt und somit erhalten wir in diesem Fall zwei Lösungen für die Umkehrpositionskinematik, solange der Handgelenkmittelpunkt z0 nicht schneidet. Wenn es einen Versatz gibt, gibt es linke und rechte Armkonfigurationen wie im Fall des Ellenbogenmanipulators (Aufgabe 4-12).

#### 4.4. INVERSE ORIENTIERUNG 93 KAPITEL 4. INVERSE KINEMATIK

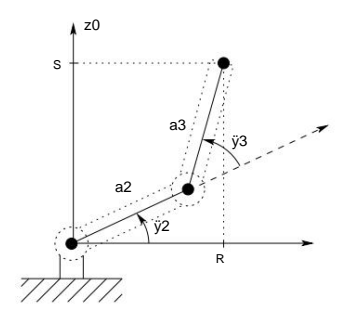


Abbildung 4.8: Projektion auf die Ebene, die durch die Verbindungen 2 und 3 gebildet wird.

## 4.4 Inverse Orientierung

Im vorherigen Abschnitt haben wir einen geometrischen Ansatz verwendet, um das Problem der inversen Position zu lösen. Dies gibt die Werte der ersten drei Gelenkvariablen an, die einer bestimmten Position des Handgelenksursprungs entsprechen. Das Problem der inversen Orientierung besteht nun darin, die Werte der letzten drei Gelenkvariablen zu finden, die einer gegebenen Orientierung in Bezug auf den Rahmen o3x3y3z3 entsprechen. Für ein sphärisches Handgelenk kann dies als das Problem interpretiert werden, einen Satz von Euler-Winkeln zu finden, die einer gegebenen Rotationsmatrix R entsprechen. Denken Sie daran, dass Gleichung (3.32) zeigt, dass die für das sphärische Handgelenk erhaltene Rotationsmatrix dieselbe Form wie die Rotation hat Matrix für die Euler-

Transformation, angegeben in (2.52). Daher können wir die in Abschnitt 2.5.1 entwickelte Methode verwenden, um die drei Gelenkwinkel des sphärischen Handgelenks zu ermitteln. Insbesondere lösen wir mithilfe der Gleichungen (2.54) – (2.59) nach den drei Euler-Winkeln ÿ, ÿ, ÿ und verwenden dann die Abbildung

$$\ddot{y}4 = \ddot{y},$$
  
$$\ddot{y}5 = \ddot{y}, \ddot{y}6$$
  
$$= \ddot{y}.$$

Beispiel 4.2 Gelenkmanipulator mit sphärischem Handgelenk Die DH-

Parameter für die in Abbildung 4.2 gezeigte Rahmenzuordnung sind in Tabelle 4.1 zusammengefasst. Durch Multiplikation der entsprechenden Ai- Matrizen erhält man die Matrix R0 für den Gelenk- oder Ellenbogenmanipulator as

$$R_3^0 = \begin{cases} c1c23 \ \ddot{y}c1s23 \ s1 \\ s1c23 \ \ddot{y}s1s23 \ \ddot{y}c1 \\ y \ \ddot{y} \ s23 \ c23 \ 0 \ \ddot{y} \ \ddot{y}. \end{cases}$$
 (4.36)

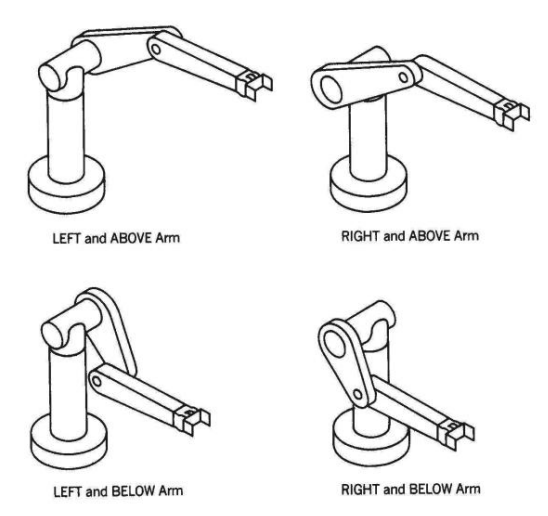


Abbildung 4.9: Vier Lösungen der inversen Positionskinematik für den PUMA-Manipulator.

Tabelle 4.1: Verbindungsparameter für den Gelenkmanipulator aus Abbildung 4.2.

Link ai	ÿi di ÿ	i <b>0 90</b>	d1 <b>ÿ</b> ÿ	1
1	a2 <b>0</b>	0 ў ў	2	
23	a3 <b>0</b>	<b>0 ÿ</b> ÿ		3

<sup>7</sup> Variable

4.4. INVERSE ORIENTIERUNG 95

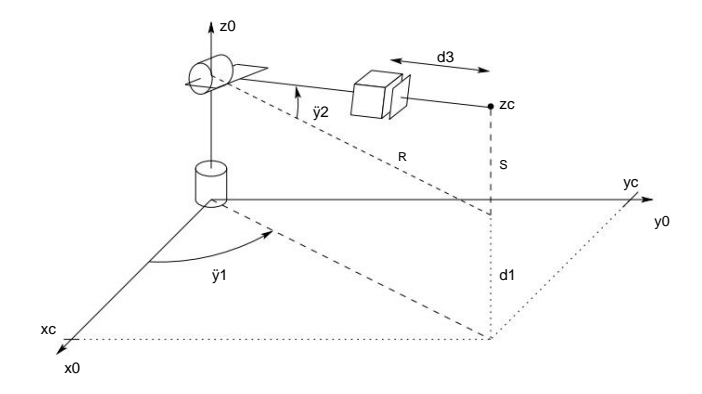


Abbildung 4.10: Sphärischer Manipulator.

Die Matrix R3 <sub>6</sub> = A4A5A6 ist gegeben als

Die Gleichung, die nun für die letzten drei Variablen gelöst werden muss, lautet daher

$$R_{6}^{3} = (R_{3}^{0})^{T} R$$
 (4.38)

und die Euler-Winkellösung kann auf diese Gleichung angewendet werden. Zum Beispiel die drei Gleichungen Die durch die dritte Spalte in der obigen Matrixgleichung gegebenen Werte sind gegeben durch

Wenn also nicht beide Ausdrücke (4.39), (4.40) Null sind, dann erhalten wir  $\ddot{y}5$  aus (2.54) und (2.55) als

$$\ddot{v}5 = A \tan s1r13 \, \ddot{v} \, c1r23 \, \pm 1 \, \ddot{v} \, (s1r13 \, \ddot{v} \, c1r23)$$

Wenn in (4.42) die positive Quadratwurzel gewählt wird, dann sind ÿ4 und ÿ6 durch (2.56) und (2.57) gegeben, bzw. als

$$\ddot{y}4 = A \tan(c1c23r13 + s1c23r23 + s23r33,$$

$$\ddot{y}6 = A \tan(\ddot{y}s1r11 + c1r21, s1r12 \ddot{y} c1r22).$$
 (4.44)

KAPITEL 4. INVERSE KINEMATIK

Die anderen Lösungen erhält man analog. Wenn s5=0, dann sind die Gelenkachsen z3 und z5 kollinear. Dies ist eine singuläre Konfiguration und nur die Summe  $\mathring{y}4+\mathring{y}6$  kann bestimmt werden. Eins Die Lösung besteht darin,  $\mathring{y}4$  willkürlich zu wählen und dann  $\mathring{y}6$  mithilfe von (2.62) oder (2.64) zu bestimmen.

## Beispiel 4.3 Zusammenfassung der Ellenbogenmanipulatorlösung

Um die vorangegangene Entwicklung zusammenzufassen, schreiben wir eine Lösung für die Umkehrung auf Kinematik des in Abbildung 4.2 gezeigten Ellenbogenmanipulators mit sechs Freiheitsgraden

keine Gelenkversätze und ein kugelförmiges Handgelenk.

Gegebe

$$\mathbf{o} = \ddot{\mathbf{y}}_{0|e}^{\text{osm}} \ddot{\mathbf{y}} \quad \mathbf{R} = \ddot{\mathbf{y}}_{R21 R22 R23}^{R11 R12 R13} \ddot{\mathbf{y}}$$

$$\ddot{\mathbf{y}}_{0} \circ \ddot{\mathbf{y}}; \qquad \ddot{\mathbf{y}}_{R31 R32 R33} \qquad \ddot{\mathbf{y}}$$
(4.45)

dann mit

$$xc = ox \ddot{y} d6r13$$
 (4.46)

$$yc = oy \ddot{y} d6r23 zc =$$
 (4.47)

ein Satz von DH-Gelenkvariablen ist gegeben durch

$$\ddot{y}1 = A \tan(xc, yc)$$
 (4.49)

$$\ddot{y}$$
2 = A tan x  $\frac{2}{c}$  + J $\frac{2}{c}$   $\ddot{y}$  d 2, zc  $\ddot{y}$  A tan(a2 + a3c3, a3s3) (4,50)

$$\ddot{y}3 = A \tan D, \pm 1 \ddot{y} D2$$

wobei D = 
$$\frac{X_{c}^{2} + J_{c}^{2} \ddot{y} d^{2} + z_{c}^{2} \ddot{y}^{s} \frac{2}{c^{3}} \ddot{y}^{s}}{2a2a3}$$
(4.51)

 $\ddot{y}4 = A \tan(c1c23r13 + s1c23r23 + s23r33,$ 

= A tan s1r13 
$$\ddot{y}$$
 c1r23,  $\pm 1 \ddot{y}$  (s1r13  $\ddot{y}$  c1r23) 2 . (4.53)

$$\ddot{y}6 = A \tan(\ddot{y}s1r11 + c1r21, s1r12 \ddot{y} c1r22).$$
 (4.54)

Die anderen Lösungsmöglichkeiten bleiben als Übung übrig (Aufgabe 4-11). ÿ

## Beispiel 4.4 SCARA-Manipulator

Als weiteres Beispiel betrachten wir den SCARA-Manipulator, dessen Vorwärtskinematik ist definiert durch († aus (3.49). Die inverse Kinematik ist dann als Lösungsmenge von gegeben Die gleichung

4.4. INVERSE ORIENTIERUNG

Wir stellen zunächst fest, dass nicht jedes mögliche H aus SE(3) eine Lösung von (4.55) zulässt, da das SCARA nur vier Freiheitsgrade hat. Tatsächlich können wir leicht erkennen, dass es keine Lösung von (4.55) gibt, es sei denn, R hat die Form

97

und wenn dies der Fall ist, wird die Summe ÿ1 + ÿ2 ÿ ÿ4 bestimmt durch

$$\ddot{y}$$
1 +  $\ddot{y}$ 2  $\ddot{y}$   $\ddot{y}$ 4 =  $\ddot{y}$  = A tan(r11, r12). (4.57)

Projiziert man die Manipulatorkonfiguration auf die x0  $\ddot{y}$  y0- Ebene, erhält man sofort die Situation von Abbildung 4.11.

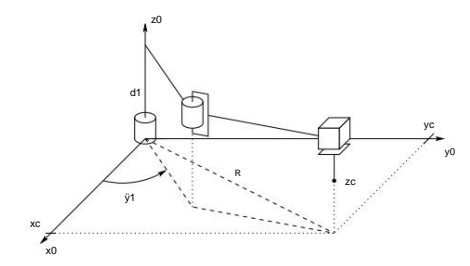


Abbildung 4.11: SCARA-Manipulator.

Wir sehen daraus das

$$\ddot{y}2 = A \tan c2, \pm \ddot{y} 1 \ddot{y} c\overline{2}$$
 (4.58)

Wo

$$c2 = \frac{xy \frac{22+}{281a2} a_{12} \frac{22\bar{y}a\bar{y}}{a_{12}}}{(4.59)}$$

$$\ddot{y}1 = A \tan(ox, oy) \ddot{y} A \tan(a1 + a2c2, a2s2).$$
 (4,60)

Wir können dann ÿ4 aus (4.57) bestimmen als

$$\ddot{y}4 = \ddot{y}1 + \ddot{y}2 \ddot{y} \ddot{y} \tag{4.61}$$

= ÿ1 + ÿ2 ÿ A tan(r11, r12).

Schließlich ist d3 gegeben als

$$d3 = oz + d4$$
. (4.62)

ÿ

98 KAPITEL 4. INVERSE KINEMATIK